



مطالعات دیاژنیکی و ژئوشیمیایی رخساره‌های سیلیسی آواری منتب به اردوبویسین کوه راهدار، غرب طبس

محمد خانه‌باد^{*}، رضا موسوی حرمی^۱، مهناز صباح بجستانی^۲

۱- عضو هیأت علمی گروه زمین شناسی، دانشکده علوم، دانشگاه فردوسی مشهد، مشهد، ایران

۲- کارشناس ارشد رسوب شناسی و سنگ شناسی رسوبی، گروه زمین شناسی، دانشکده علوم، دانشگاه فردوسی مشهد، مشهد، ایران

*پست الکترونیک: mkhanehbad@ferdowsi.um.ac.ir

تاریخ پذیرش: ۸۹/۵/۴

تاریخ دریافت: ۸۹/۲/۶

چکیده

در این تحقیق، مطالعات پتروگرافی، ژئوشیمی عناصر اصلی و کمیاب برای تعیین خاستگاه، جایگاه تکتونیکی و شرایط آب و هوایی قدیمه ناحیه منشأ ماسه سنگهای اردوبویسین کوه راهدار انجام شده است. از نظر پتروگرافی این ماسه سنگها شامل کوارتز آرنايت و ساب لیترانایت است. همه ماسه سنگها غنی از سیلیس و فقیر از فلدسپات و خرد سنگ می‌باشند. سیمان این ماسه سنگها شامل سیمان سیلیسی رورشدی، کمی کربنات، هماتیت و کانیهای رُسی است. داده‌های پتروگرافی نشان دهنده موقعیت چرخه مجدد و کراتون برای این رسوبات است. همچنین داده‌های ژئوشیمیایی نیز بیانگر منشأ از کوارتزهای رسوبی ماسه سنگهای قدیمی تر است. متوسط اندیس هوازدگی شیمیایی برای این رسوبات در حدود ۹۱ بوده که این خود بیانگر هوازدگی شدید در ناحیه منشأ است. در طی رسوب‌گذاری این ماسه سنگها شرایط آب و هوایی مرطوب حکم‌فرما بوده است.

واژه‌های کلیدی: دیاژن، ژئوشیمی، رخساره سیلیسی، راهدار، طبس.

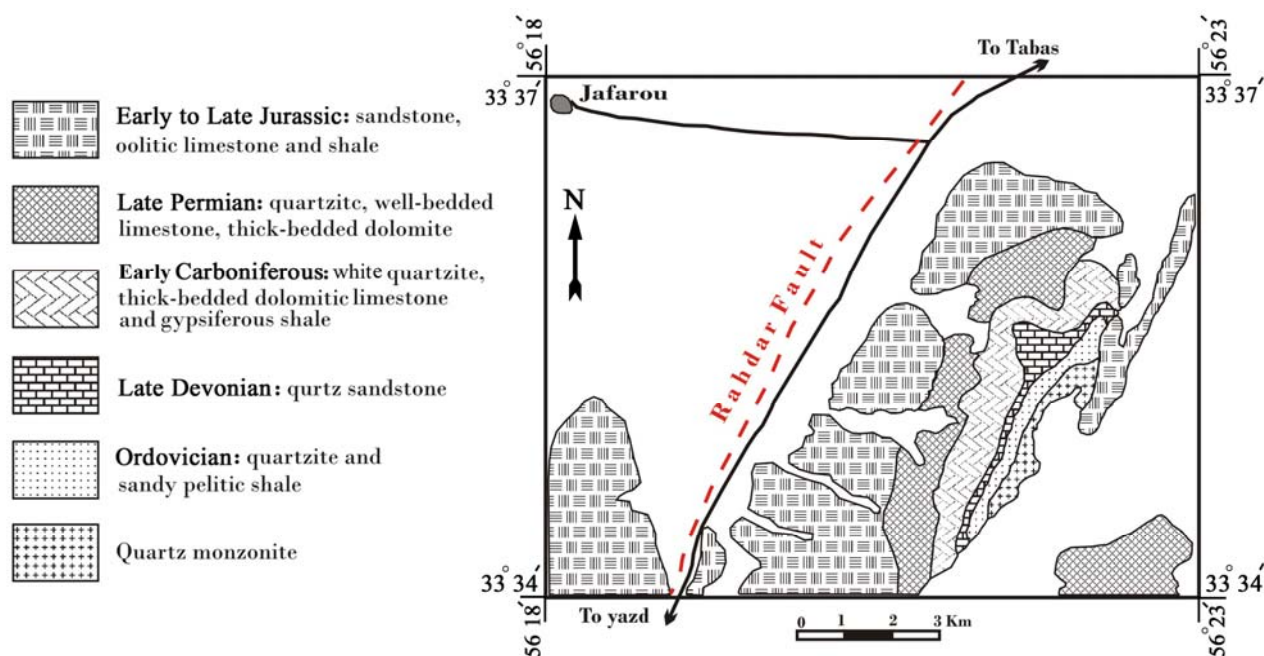
مقدمه

ژئوشیمیایی جهت تفسیر ناحیه منشأ، موقعیت تکتونیکی، شرایط آب و هوای جغرافیایی قدیمه مورد بررسی قرار گرفته‌اند. امید است این مطالعه بتواند در بازسازی جغرافیایی دیرینه منطقه کمک نماید.

روش مطالعه

در مطالعه سنگهای سیلیسی آواری، مطالعات و برداشت‌های صحرایی از اهمیت به سزاوی برخوردارند. بدین منظور در این مطالعه کلیه تغییرات بافتی و ساختارهای رسوبی با دقت

رخساره ماسه سنگی مربوط به سازندهای شیرگشت و راهدار با سن قبل از کربونیfer در ناحیه کوه راهدار (غرب طبس) رخنمون دارند (شکل ۱). مطالعاتی که تاکنون در مورد رسوبات قبل از کربونیfer ایران مرکزی انجام شده از دیدگاه چینه شناسی و دیرینه شناسی بوده است. از آن جایی که، رسوبات قبل از کربونیfer در ایران مرکزی به طور تفصیلی مورد مطالعه قرار نگرفته است، در این مطالعه رخساره‌های سیلیسی آواری از دیدگاه رسوب شناسی و



شکل ۱: راههای دسترسی و نقشه زمین شناسی ناحیه مورد مطالعه (اقتباس از شیخ الاسلامی و زمانی، ۱۳۷۸)

سازند شیرگشت در این ناحیه با سن اردوویسین به صورت ناپیوستگی آذرین پی بر روی سنگهای بیوتیت کوارتزمونزونیت (شکل ۲) قرار گرفته‌اند (آقاباتی، ۱۹۷۷). رخمنون این واحد آذرین در کوه راهدار در مجاورت گسل کلمرد است. کانیهای تشکیل دهنده آن شامل کوارتز، فلدسپات و بیوتیت است که اغلب فلدسپانها آلتره شده‌اند (شکل ۴الف). قسمتهای زیرین سازند شیرگشت از کوارتز آرناپاتی سفید و قهوه‌ای به ضخامت ۷۰ متر تشکیل شده‌اند که دارای آثار فسیلی (شکل ۳ب) و ساختمانهای رسوبی شامل طبقه بندی مورب فراوان، ریپل مارکهای موجی (شکل ۳پ) و ریلهای تداخلی (شکل ۳ت) است و نشان دهنده نهشته شدن این رسوبات در محیط کاملاً ساحلی (shoreface) می‌باشد. بخش‌های بالای این سازند از تناوب شیلهای قرمز و سبز رنگ و سنگ آهکهای ماسه‌ای تشکیل شده است. نهشته‌های موسم به سازند راهدار به سن دونین به طور هم شیب بر روی سازند شیرگشت قرار گرفته‌اند (آقاباتی، ۱۹۷۷). قاعده این سازند ماسه سنگی و در ادامه

مورد بررسی قرار گرفته و به طور سیستماتیک تعداد ۵۱ نمونه سنگی جهت مطالعات ژئوشیمیایی و پتروگرافی برداشت شده است. به منظور تعیین پتروفاسیسهای تشکیل دهنده، از ماسه سنگها مقاطع نازک تهیه و توسط میکروسکپ پلاریزان مطالعه شده‌اند. نام‌گذاری سنگها بر اساس فولک (۱۹۸۰) انجام شده است. ۱۹ نمونه ماسه سنگی به منظور آنالیز عناصر اصلی و فرعی انتخاب گردید تا نشان دهنده کل توالی از پایین به بالا باشند. اندازه گیری اکسیدهای اصلی و نیز تعدادی از عناصر فرعی به وسیله دستگاه فلورسانس اشعه ایکس (XRF) در شرکت تحقیقات مواد معدنی طیف کانساران بینالود انجام گرفته است. از این داده‌ها در تقسیم بندی ژئوشیمیایی ماسه سنگها (بهاتیا، ۱۹۸۳؛ بهاتیا و کروک، ۱۹۸۶) و تفسیر منشأ و موقعیت تکتونیکی آنها استفاده شده است (هرون، ۱۹۸۸).

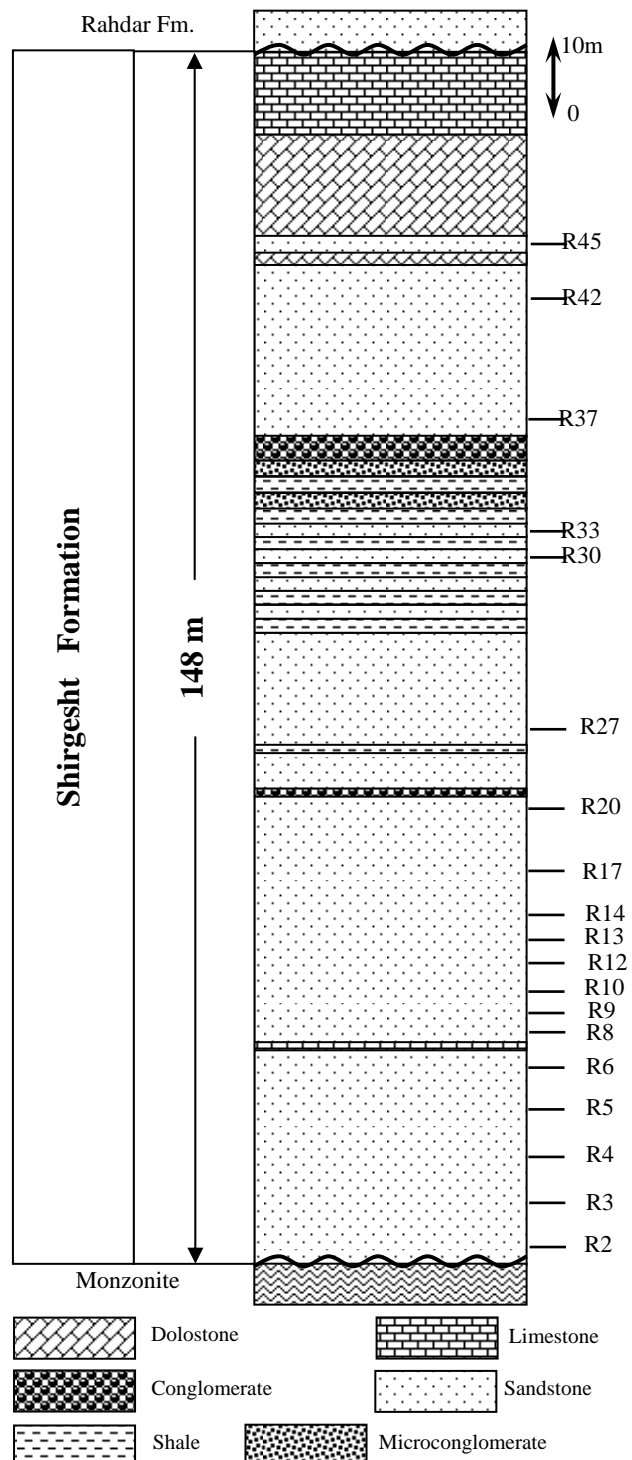
زمین شناسی منطقه مورد مطالعه

منطقه مورد نظر در حاشیه خاوری بلوک کلمرد از پهنه ایران مرکزی جای دارد (شکل ۱). نهشته‌های موسم به



شکل ۳: (الف) کوه راهدار واقع در غرب طبس، ماسه سنگهای کوارتزی سفید رنگ بر روی توده آذرین قرار گرفته اند، (ب) آثار فسیلی در ماسه سنگهای قهقهه‌ای رنگ، (پ) ریلهای موجی در ماسه سنگهای قهقهه‌ای رنگ، (ت) ریلهای تداخلی در ماسه سنگهای قهقهه‌ای رنگ منطقه مورد مطالعه.

به صورت سنگ آهکی و شیلی است. لازم به ذکر است که در این پژوهش پتروگرافی و ژئوشیمی رسوبات ماسه سنگی موسوم به سازند شیرگشت به سن اردوبیسین که بر روی توده آذرین نهشته شده‌اند، مطالعه شده است.



شکل ۴: ستون چینه شناسی ناحیه مورد مطالعه که محل نمونه بردازی بر روی آن نشان داده شده است.

اساسی کنترل کننده ترکیب اجزای آواری تشکیل دهنده این ماسه سنگها محسوب می‌شود (رضایی و لمون، ۱۹۹۶). سیمان سیلیسی از نظر کانی شناسی، ساده‌ترین نوع سیمان است اما از لحاظ ریخت شناسی دارای تنوع است. سیمان سیلیسی در این ماسه سنگها به صورت رورشده بر روی دانه‌های آواری کوارتز نهشته شده‌اند. در طی دیاژنر کوارتز آرناپیت‌ها سیمان سیلیسی رورشده تشکیل می‌شود و ممکن است عمل تراکم و سیمانی شدن تا مرحله محو شدن تخلخل (porosity vanished) ادامه یابد. سُربی (Sorby) اولین شخصی بود که وجود رورشده‌های کوارتز در ماسه سنگها را در سال ۱۸۸۰ به اثبات رساند (مکبراید، ۱۹۸۹). رورشده کوارتز، حلقه‌هایی با ضخامت تقریباً یکسان هستند که بر روی دانه‌های کوارتز آواری شکل می‌گیرند (شکل ۴ ب). آنها معمولاً از نظر نوری با کانیهای آواری زیر خود پیوستگی دارند و فابریک هم محور رورشده دارای پیوستگی نوری (optic continuity) با مراکز آواری می‌باشد، اما می‌تواند با دانه‌های آواری از نظر ترکیب عناصر فرعی متفاوت باشد (مکبراید، ۱۹۸۹). این نوع سیمان معمولاً در طی دیاژنر دفنی و در درجه حرارت‌های بالاتر از ۷۰ درجه سانتیگراد شکل می‌گیرد، اما ممکن است در شرایط نزدیک سطح به طور مثال در سیلکریتها نیز تشکیل شود (گلدستاین و روسی، ۲۰۰۲؛ بورلی و وُردن، ۲۰۰۳). این نوع سیمان مهمترین عامل از بین برنده تخلخل ماسه سنگهاست (مورک و موئن، ۲۰۰۷). الگوهای متعددی برای پیش‌گویی میزان سیمان سیلیسی و مقدار از دست رفتن تخلخل در ماسه سنگها ارائه شده است. در این الگوها سیمانی شدن سیلیسی وابسته به یک فرآیند سه مرحله‌ای است که شامل انحلال منبع سیلیس، حمل سیلیس به صورت محلول و در نهایت ته نشست سیمان سیلیسی است. سیلیس به طور داخلی یا خارجی از یک منبع احتمالی تأمین شده و

پتروگرافی ماسه سنگها

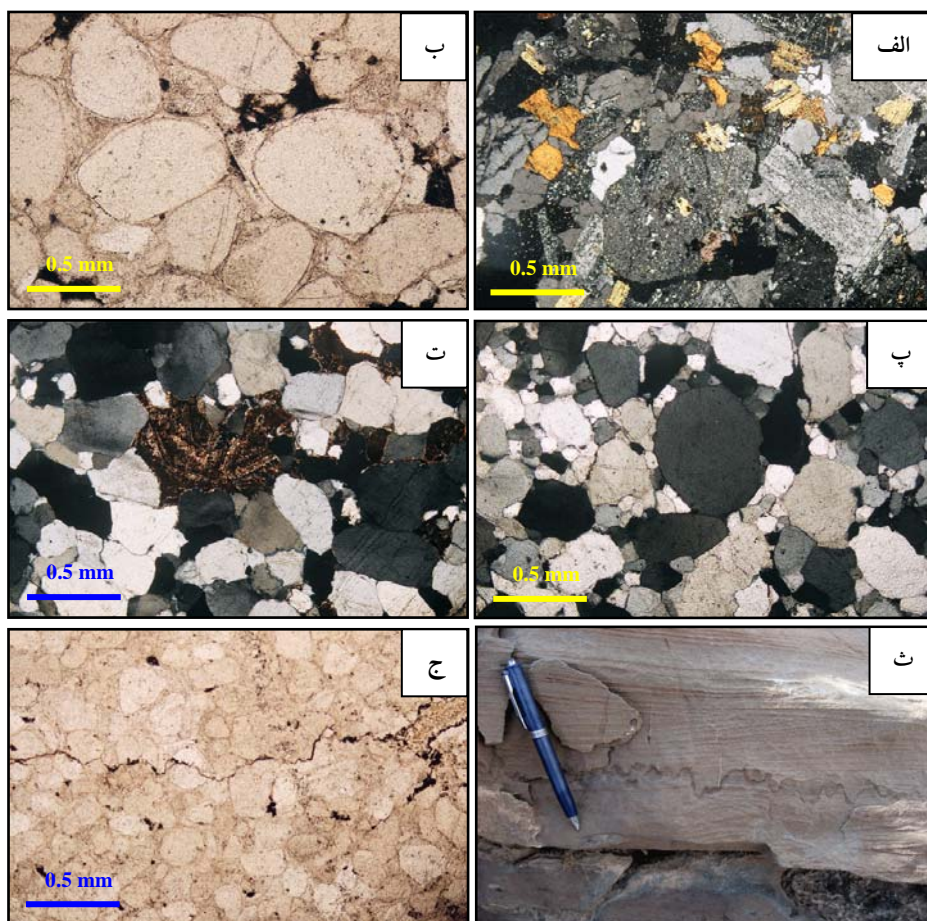
به طور کلی بیشترین جزء تشکیل دهنده این ماسه سنگها، کوارتزهای تک بلوری است که اغلب بیش از ۹۵ درصد حجمی این سنگها را تشکیل می‌دهند. سیمان این ماسه سنگها به ترتیب فراوانی شامل سیلیس رورشده، هماتیت و کربنات است. تورمالین و زیرکان از مهمترین کانیهای سنگین این ماسه سنگهاست. خرد سنتگهای رسوبی از نوع چرت نیز به مقدار کم در این ماسه سنگها مشاهده می‌شود. جورشده‌گی و گردشده‌گی اغلب این ماسه سنگها بالاست که نشان دهنده حمل و نقل زیاد این خرددها و یا هوازدگی بیشتر در ناحیه منشأ است. در برخی از مقاطع، دانه‌های کوارتز در حد ریز و درشت بوده که نشان دهنده دو منشأی بودن این ذرات است (شکل ۴ پ).

دیاژنر

به طور کلی دیاژنر ماسه سنگها به وسیله محیط رسوبی (depositional environments)، تکتونیک محل، تغییرات سطح آب دریاهای، ترکیب کانیهای آواری، تاریخچه تدفین و عاملهای دیگر کنترل می‌شوند. از بین این عوامل، محیط رسوبی، ترکیب و بافت رسوبات به طور خاص در دیاژنر اولیه اهمیت به سزایی دارند (کیم و همکاران، ۲۰۰۷). ترکیب دانه مهمترین عامل کنترل کننده دیاژنر ماسه سنگها در فانروزوئیک بوده است، به طوری که در کربونیفر حوضه آپالاچین، کوارتز آرناپیت‌ها دارای بیشترین حجم سیمان سیلیسی بوده در حالی که لیتارناپیت‌ها غنی از ایلیت و سرسیت بوده‌اند (رید و همکاران، ۲۰۰۵). به طور کلی فرآیندهای دیاژنیکی اصلی که ماسه سنگهای منطقه مورد مطالعه را متأثر کرده شامل فشرده‌گی مکانیکی و شیمیایی، سیمانی شدن سیلیسی و کربناته می‌باشد. شدت این فرآیندهای دیاژنیکی به وسیله ترکیب کانی شناسی ماسه سنگها کنترل می‌گردد. محیط رسوبی تشکیل دهنده این رسوبات، عامل

فشاری بین دانه‌ای و استیلولیتی شدن (شکلهای ۴ ت، ث، ج)، به عنوان منبع مهم برای سیمانی شدن سیلیسی در این ماسه سنگها محسوب می‌شود. نوع حوضه رسوبی که در آن ماسه سنگ نهشته می‌شود، فرآیند سیمانی شدن را کنترل می‌کند. ماسه سنگهای حوضه‌های ریفتی (آركوزها) و حوضه‌های حاشیه‌ای برخوردي (collision-margin) (لیتلارنایتها)، دارای درصد کمی سیمان سیلیسی هستند، اما کوارتز آرنایتها حوضه‌های درون کراتونی، فورلندی و حاشیه‌ای غیر فعال (passive margin) سیمان کوارتزی بیشتری دارند. به همین دلیل با توجه به نوع حوضه رسوبی منطقه مورد مطالعه که در ادامه بحث شده، بیشترین نوع سیمان این ماسه سنگها، سیلیسی است.

در فاصله‌ای کوتاه انتشار می‌یابد و سپس بر روی سطوح کوارتز تخریبی تمیز ته نشست می‌شود. این فرآیند ته نشینی، مرحله‌ای با سرعت محدود است که فرآیند سیمانی شدن سیلیسی را کنترل می‌کند (مارچند و همکاران، ۲۰۰۲). رورشدیهای سیلیسی معمولاً در تماس با دانه‌های تخریبی بوده و ممکن است در حواشی کانیهای تخریبی موادی از جنس هماتیت و کانیهای رسی و یا مواد آلی تحت عنوان حاشیه غبار آلود (dust line) وجود داشته باشد (شکل ۴ ب). اگر ضخامت این حاشیه پوشاننده کوارتز تخریبی زیاد باشد، تشکیل این سیمان رورشدی متوقف خواهد شد. سیمان رورشدی اغلب به صورت مستقیم با زاویه ۱۲۰ درجه و برخوردگاههای سه گانه (triple junction) (با دانه‌های مجاور تشکیل می‌شوند. فشردگی شیمیایی شامل انحلال



شکل ۴: (الف) بیوتیت مونزونیت با فلزپاتهای آلتره شده، XPL، (ب) سیمان رورشدی و حاشیه غبار آلود بر روی دانه‌های کوارتز آواری، PPL، (پ) دو منشأی بودن دانه‌های کوارتز آواری، XPL، (ت) مرز محدب - مقعر و مضرس در بین دانه‌های کوارتز آواری، XPL، (ث) استیلولیت در مقیاس مکروسکوپی، (ج) استیلولیت در مقیاس میکروسکوپی، PPI.

و MgO اغلب از دانه‌های کربناته و یا سیمانهای آهکی و دولومیتی منشأ می‌گیرند و ارتباط کاملاً مثبتی با میزان LOI دارند (شکل ۵ الف و ب). ارتباط منفی بین SiO_2 با اغلب عناصر اصلی (به طور مثال Al_2O_3) به این دلیل است که اکثر سیلیس موجود در این ماسه سنگها به خاطر وجود کانی کوارتز بوده و نشان دهنده وجود بسیار کم فلدسپات، میکا و کانیهای رسی است (شکل ۶). در اغلب نمونه‌ها، میزان تمرکز TiO_2 با Al_2O_3 افزایش می‌یابد (شکل ۷) که این بیانگر آن است که TiO_2 همراه با فیلوسیلیکاتها و به طور خاص ایلیت است (دادارد، ۱۹۹۰).

براساس نمودار هرون (۱۹۹۸)، اغلب ماسه سنگها در محدوده کوارتز آرنایت و تعداد اندکی ساب لیتارنایت و یک نمونه هم به علت داشتن بیش از ۵ درصد Fe_2O_3 در محدوده ماسه سنگهای آهن دار قرار گرفته است (شکل ۸). این طبقه بندی اغلب با داده‌های پتروگرافی همخوانی دارد. ارتباط مثبت بین Al_2O_3 و K_2O (شکل ۹) نشان می‌دهد که کانیهای غنی از پتاسیم، توزیع آلومینیم را تحت تأثیر قرار داده که این نیز توسط میزان کانیهای رسی کنترل می‌گردد (مکلنان و همکاران، ۱۹۸۳؛ جین و همکاران، ۲۰۰۶). همچنین این ارتباط خیلی مثبت بیانگر وجود فاز غنی از آلومینیم به ویژه ایلیت در این ماسه سنگهاست (لی، ۱۹۹۹). ارتباط منفی بین SiO_2 با عناصر کمیاب (به طور مثال با Co ، شکل ۱۰) نشان می‌دهد که اغلب عناصر کمیاب در اجزای رسی متمرکز می‌شوند (آکاریش و الگوهری، ۲۰۰۸). وانادیم ارتباط مثبتی با TiO_2 نشان داده (شکل ۱۱) که احتمالاً به خاطر جذب آن در کائولینیت و یا همراهی آن با کانیهای اکسید آهن است (هیرست، ۱۹۶۲؛ عبدالوهاب و همکاران، ۱۹۹۷).

ژئوشیمی

ترکیب شیمیایی و کانی شناسی رسوبات سیلیسی آواری بستگی به عاملهایی نظیر ترکیب رسوبات منشأ (provenance composition)، پستی و بلندی (relief)، آب (transport) و هوای قدیمه (palaeoclimate)، حمل و نقل (sorting) و دیاژنر دارد (دی و همکاران، ۲۰۰۹). پتروگرافی و ژئوشیمی ماسه سنگها روشهای مفیدی برای تشخیص این عوامل می‌باشند. مطالعات ژئوشیمیایی عناصر اصلی و فرعی برای تعیین موقعیت تکتونیکی و ناحیه منشأ سنگهای رسوبی به کار گرفته شده است (بهاتیا، ۱۹۸۳؛ بهاتیا و کروک، ۱۹۸۶). موقعیت تکتونیکی تحت تأثیر فرآیندهای رسوب‌گذاری، دیاژنر و ترکیب رسوبات است (پتی جان و همکاران، ۱۹۸۷؛ بهاتیا، ۱۹۸۳؛ چاملی، ۱۹۹۰). بنابراین ممکن است ویژگیهای ژئوشیمیایی خاصی برای موقعیتهاي تکتونیکی مختلف در نظر گرفته شود. در این تحقیق، از مجموع ۵۱ نمونه برداشت شده، تعداد ۱۹ نمونه ماسه سنگی که تا حد امکان دارای ذرات کربناته کمتری بود، برای آنالیز ژئوشیمیایی انتخاب گردیدند.

اکسیدهای عناصر اصلی

آنالیز ژئوشیمیایی ماسه سنگهای ناحیه مورد مطالعه در جدولهای شماره ۱ و ۲ ارائه شده است. این ماسه سنگها در ناحیه کوه راهدار دارای سیلیس بالا (بین ۷۸ و ۹۸ با میانگین ۹۱ درصد) است و میانگین Al_2O_3 و K_2O به ترتیب برابر با ۰/۱۸ و ۰/۲۷ درصد می‌باشد. منشأ سیلیس در این ماسه سنگها عمدهاً کوارتز، فلدسپار و کانیهای رسی است. میزان Al_2O_3 و K_2O ممکن است به دلیل وجود فلدسپات پتاسیم، میکا و کانیهای رسی باشد. این ماسه سنگها دارای مقادیر بسیار کمی سدیم هستند (متوسط Na_2O در حدود ۰/۰۵ درصد وزنی است) که این امر نشان دهنده نبود پلازیوکلازهای سدیک مثل آلیت در آنهاست. میزان CaO

جدول ۱: اکسیدهای اصلی ماسه سنگهای منطقه مورد مطالعه بر اساس آنالیزهای ژئوشیمیایی انجام شده

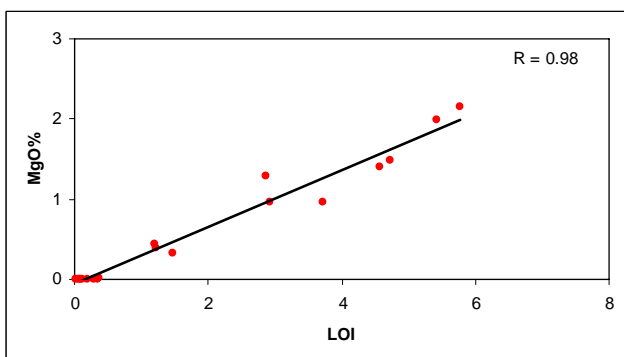
Sample	SiO ₂	Al ₂ O ₃	Na ₂ O	MgO	K ₂ O	TiO ₂	MnO	CaO	P ₂ O ₅	Fe ₂ O ₃	SO ₃	LOI
R2	98.43	0.43	0.02	0	0.07	0.02	0	0.07	0.01	0.71	0	0.19
R3	98.86	0.28	0.05	0	0.04	0.02	0	0.03	0.01	0.55	0	0.1
R4	98.61	0.44	0.09	0	0.06	0.04	0	0.12	0.01	0.44	0	0.11
R5	98.86	0.31	0.04	0	0.03	0.02	0	0.09	0.01	0.52	0	0.07
R6	98.94	0.2	0	0	0.01	0.01	0	0.01	0.01	0.77	0	0.01
R8	90.66	0.34	0.06	1.28	0.05	0.03	0.08	3.12	0.09	1.34	0	2.87
R9	95.14	0.75	0.03	0.39	0.13	0.05	0.02	1.32	0.02	0.8	0	1.23
R10	95.54	0.97	0.09	0	0.16	0.04	0	1.43	0.78	0.6	0	0.3
R12	97.68	0.33	0.03	0.01	0.04	0.03	0.01	0.56	0.05	0.82	0	0.36
R13	91.74	0.31	0.06	0.33	0.04	0.05	0.04	3.58	1.16	1.07	0	1.48
R14	81.05	0.66	0.2	1.48	0.12	0.06	0.14	8.1	1.21	2.08	0	4.73
R17	81.92	0.82	0.03	1.99	0.16	0.05	0.14	6.57	0.83	1.93	0	5.43
R20	79.82	0.39	0.07	2.15	0.07	0.04	0.13	8.58	0.94	1.91	0	5.78
R27	98.08	0.76	0.05	0	0.13	0.04	0	0.09	0.01	0.72	0	0.05
R30	69.66	4.02	0.02	0.97	0.53	0.1	0.08	10.31	4.16	5.62	0.17	3.71
R33	78.22	4.73	0.04	1.4	0.84	0.11	0.1	5.69	1.19	2.84	0	4.57
R37	95.98	2	0.05	0	0.26	0.07	0	0.03	0.02	1.14	0	0.34
R42	86.63	5.6	0.07	0.44	0.62	0.25	0	1.32	1.02	1.85	0.07	1.2
R45	90.95	0.86	0.07	0.97	0.01	0.11	0.01	3.1	0.04	0.84	0	2.92

Note: LOI= Loss of ignition, Major element (oxide %wt)

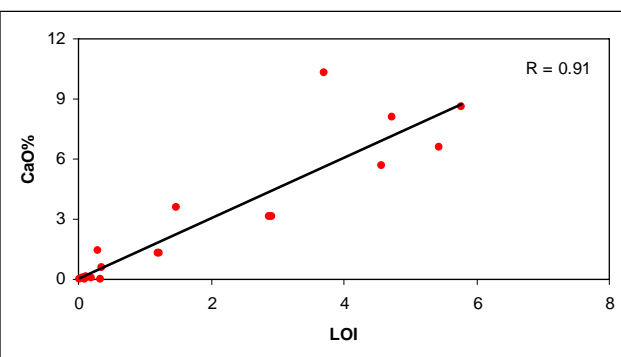
جدول ۲: عناصر کمیاب موجود در ماسه سنگهای منطقه مورد مطالعه براساس آنالیزهای ژئوشیمیایی انجام شده

Sample	Ba	Co	Cr	Cu	Ni	U	Th	Ce	V
R2	52	11	43	57	N	8	5	25	20
R3	16	8	41	43	12	7	4	22	18
R4	11	N	20	43	8	9	5	20	21
R5	N	5	30	25	N	N	N	20	24
R6	3	8	60	28	18	5	3	18	18
R8	N	2	42	17	16	6	4	27	17
R9	11	2	17	43	N	10	1	25	25
R10	36	12	35	47	18	11	9	41	23
A12	19	1	44	55	18	14	11	26	23
R13	63	11	40	33	3	6	1	53	25
R14	85	14	33	29	9	9	8	47	24
R17	75	1	19	29	24	16	2	45	24
R20	54	17	11	14	N	9	6	51	21
R27	5	3	33	33	N	7	9	32	22
R30	607	39	101	459	62	18	9	107	44
R33	118	11	57	32	N	9	4	65	37
R37	48	9	57	60	11	6	4	25	26
R42	431	20	50	63	13	2	11	340	49
R45	25	5	28	35	0	0	8	19	29

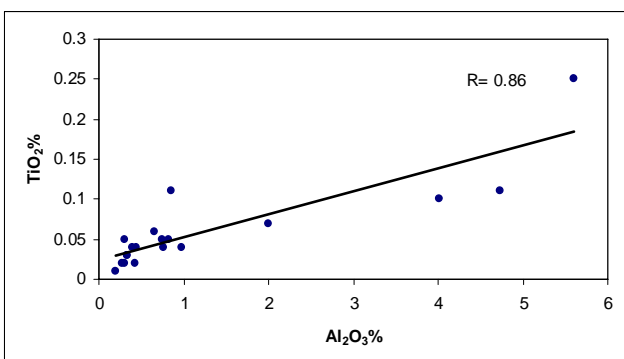
Note: N= not detected, Trace element (ppm)



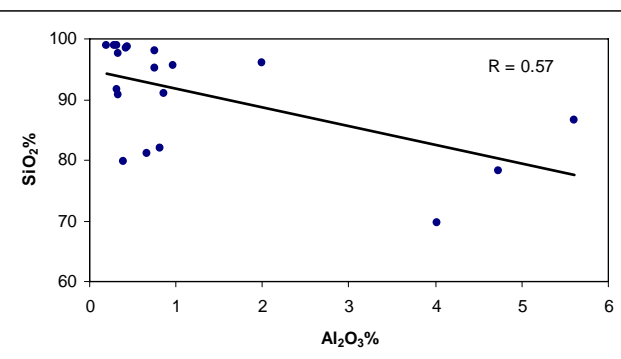
شکل ۵ ب: ارتباط مثبت بین MgO با LOI



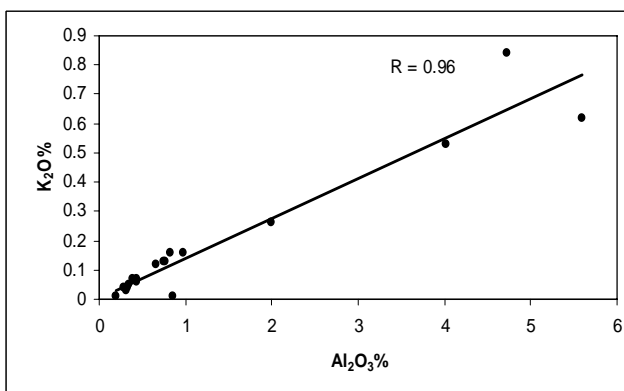
شکل ۵ اف: ارتباط مثبت بین CaO و LOI



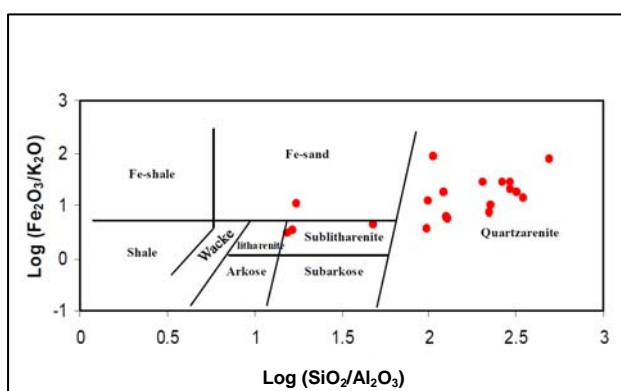
شکل ۷: ارتباط مثبت بین Al_2O_3 و TiO_2



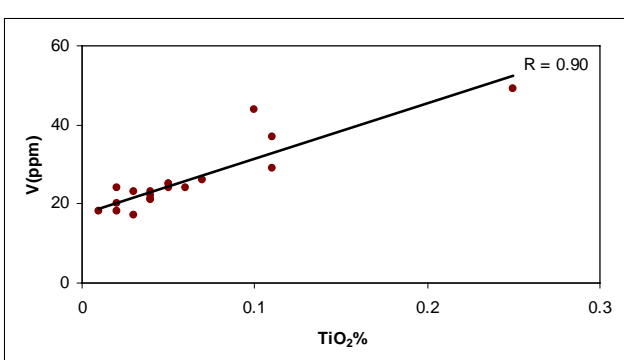
شکل ۶: ارتباط منفی بین Al_2O_3 و SiO_2



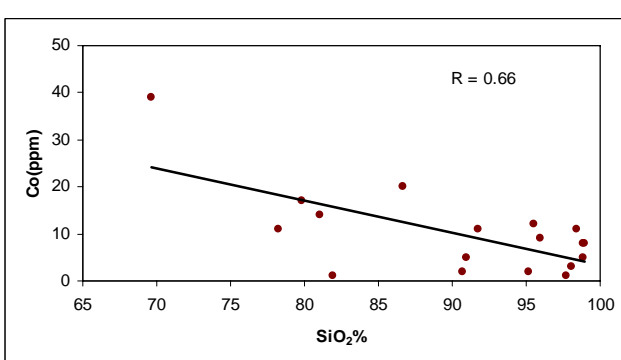
شکل ۹: ارتباط مثبت بین Al_2O_3 و K_2O



شکل ۸: ترکیب شیمیایی ماسه سنگهای منطقه مورد مطالعه (هرون، ۱۹۹۸).



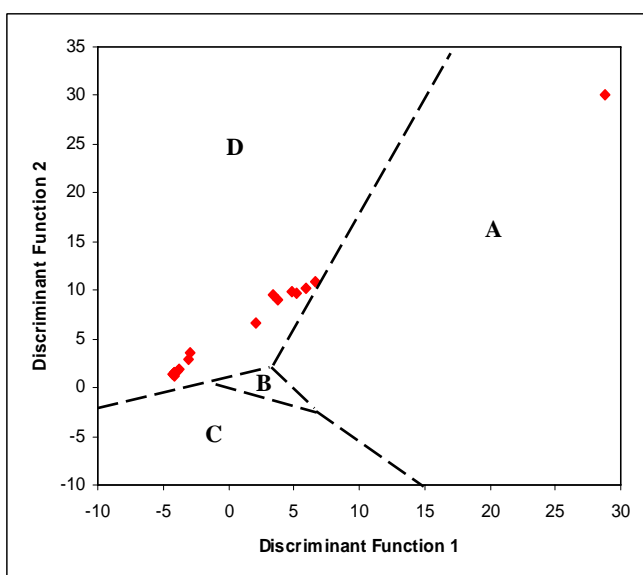
شکل ۱۱: ارتباط مثبت بین TiO_2 و V



شکل ۱۰: ارتباط منفی بین SiO_2 و Co

جایگاه تکتونیکی (Tectonic setting)

شواهد مهمی برای تفسیر موقعیت تکتونیکی براساس کاهش نسبی اکسیدهای مانند CaO و Na_2O (فازهای متحرک) و غنی شدگی اکسیدهایی نظیر SiO_2 و TiO_2 (مهمنترین عناصر غیر متحرک) به دست می‌آید. نسبت عناصر غیر متحرک به عناصر متحرک به سمت موقعیت تکتونیکی حاشیه غیرفعال، به خاطر پایداری نسبی تکتونیکی و به دنبال آن هوازدگی شدیدتر و حمل مجدد بیشتر رسوبات، افزایش می‌یابد (بهاتیا، ۱۹۸۳؛ روسر و گرش، ۱۹۸۸). در شکل ۱۳ اغلب نمونه‌های ماسه سنگی منطقه در موقعیت حاشیه قاره‌ای غیرفعال قرار می‌گیرند.



شکل ۱۳: نمودار تفکیک کننده جایگاه تکتونیکی داده‌های ماسه سنگی منطقه مورد مطالعه (بهاتیا، ۱۹۸۳).

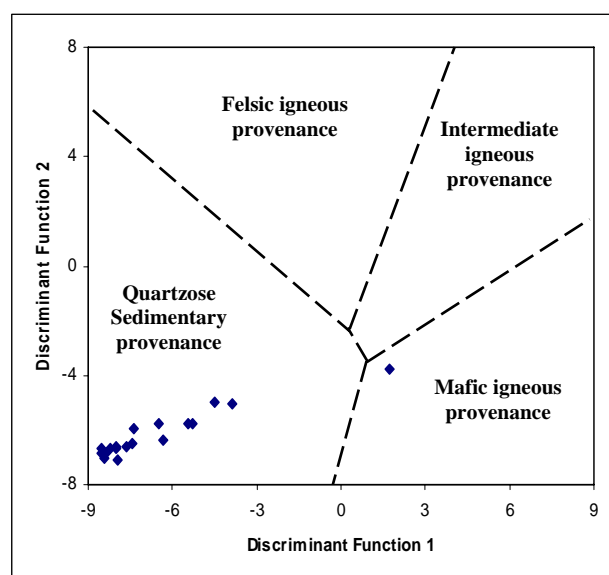
A: جزایر قوسی اقیانوسی، B: جزایر قوسی قاره‌ای، C: حاشیه قاره‌ای غیرفعال و D: حاشیه قاره‌ای غیرفعال

Discriminat Function 1: $-0.0447\text{SiO}_2 - 0.972\text{TiO}_2 + 0.008\text{Al}_2\text{O}_3 - 0.267\text{Fe}_2\text{O}_3 + 0.208\text{FeO} - 3.082\text{MnO} + 0.140\text{MgO} + 0.195\text{CaO} + 0.719\text{Na}_2\text{O} - 0.032\text{K}_2\text{O} + 7.510\text{P}_2\text{O}_5 + 0.303$

Discriminat Function 2: $-0.421\text{SiO}_2 + 1.988\text{TiO}_2 - 0.526\text{Al}_2\text{O}_3 - 0.551\text{Fe}_2\text{O}_3 - 1.610\text{FeO} + 2.720\text{MnO} + 0.881\text{MgO} - 0.907\text{CaO} - 0.177\text{Na}_2\text{O} - 1.840\text{K}_2\text{O} + 7.244\text{P}_2\text{O}_5 + 43.57$

ناحیه منشأ (Provenance)

روسر و گرش (۱۹۸۸) برای تفکیک بین رسوباتی که از سنگهای آذرین فلزیک، حدواسط، مافیک و یا کوارتزهای رسوبی منشأ گرفته‌اند، نمودار تفکیک کننده تابعی را ارائه کرده‌اند. براساس نمودار تفکیکی روسر و گرش (۱۹۸۸) اغلب نمونه‌های ماسه سنگی منطقه مورد مطالعه از کوارتزهای رسوبی نتیجه شده‌اند (شکل ۱۲). از دیدگاه مقایسه‌ای این ماسه سنگها شبیه رسوباتی هستند که از گروه گرینلنند واقع در نیوزلند گزارش شده‌اند (ناتان، ۱۹۷۶). این سنگها از سنگهای رسوبی غنی از کوارتز و یا از سنگهای دگرگونی قاره‌ای منشأ گرفته‌اند. این محدوده بیانگر منشأ قاره‌ای چرخه مجدد همراه با حاشیه غیرفعال قاره‌ای و کراتونی است (داس و همکاران، ۲۰۰۶).



شکل ۱۲: نمودار تفکیک کننده منشأ داده‌های ماسه سنگی منطقه مورد مطالعه (روسر و گرش، ۱۹۸۸).

Discriminat Function 1: $-1.733\text{TiO}_2 + 0.607\text{Al}_2\text{O}_3 + 0.76\text{Fe}_2\text{O}_3 (\text{t}) - 1.5\text{MgO} + 0.616\text{CaO} + 0.509\text{Na}_2\text{O} - 1.224\text{K}_2\text{O} - 9.09$

Discriminat Function 2: $0.445\text{TiO}_2 + 0.07\text{Al}_2\text{O}_3 - 0.25\text{Fe}_2\text{O}_3 (\text{t}) - 1.142\text{MgO} + 0.438\text{CaO} + 1.475\text{Na}_2\text{O} + 1.426\text{K}_2\text{O} - 6.861$

نتیجه‌گیری

به طور کلی برای تعیین موقعیت تکتونیکی ماسه سنگهای ناحیه مورد مطالعه از تلفیق داده‌های پتروگرافی و مطالعات ژئوشیمیایی استفاده شده است. از نظر پتروگرافی، همه ماسه سنگهای مورد مطالعه از نوع کوارتز آرنایت و تعداد کمی از نوع ساب لیتارنایت بوده که غنی از کوارتز و فقیر از فلدسپات و خرد سنگ می‌باشند. در این ماسه سنگها، ساختارهای اولیه از قبیل طبقه بندیهای مورب، ریلهای موجی و تداخلی و آثار فسیلی خاص نشان دهنده نهشته شدن آنها در محیطی کاملاً ساحلی است. از نظر ژئوشیمیایی همه ماسه سنگهای ناحیه مورد نظر در یک موقعیت تکتونیکی از نوع حاشیه قاره‌ای غیر فعال نهشته شده‌اند. براساس شواهد پتروگرافی و ژئوشیمیایی، احتمالاً این رسوبات از کوارتزهای رسوبی ماسه سنگهای قدیمی تر منشأ گرفته‌اند. میزان بالای اندیس هوازدگی شیمیایی (CIW) در این ماسه سنگها، هوازدگی شدیدی را در ناحیه منشأ پیش‌گویی کرده و یانگر شرایط آب و هوایی مرطوب در زمان حمل رسوبات از ناحیه منشأ قبل از رسوب گذاری است.

سپاس‌گزاری

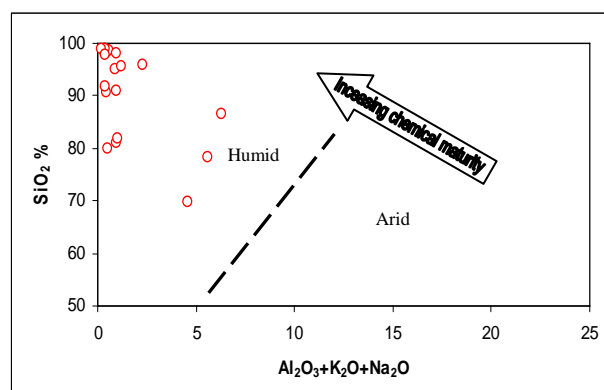
نگارندگان این مقاله از معاونت محترم پژوهشی دانشگاه فردوسی مشهد به خاطر حمایت مالی پروژه طرح تحقیقاتی شماره ۷۵۳ رپ، ۱۳۸۸/۱۰/۲۶ و نیز از گروه زمین‌شناسی دانشگاه فردوسی مشهد به خاطر در اختیار قراردادن امکانات مورد نیاز قدردانی می‌نمایند.

هوازدگی در ناحیه منشأ (weathering in the source area)

با توجه به این که در تعدادی از نمونه‌های ماسه سنگی منطقه مورد مطالعه، میزان CaO بالاست، از اندیس هوازدگی شیمیایی (chemical index of weathering) که توسط کولرز (۲۰۰۰)، ارائه شده است برای مطالعه شرایط هوازدگی در ناحیه منشأ استفاده شده است. این اندیس توسط فرمول زیر محاسبه می‌گردد:

$$\text{CIW} = [\text{Al}_2\text{O}_3 / (\text{Al}_2\text{O}_3 + \text{Na}_2\text{O})]$$

اندیس‌های هوازدگی با عدددهای بالاتر یانگر هوازدگی شیمیایی شدیدتر هستند. در نمونه‌های ماسه سنگی مورد مطالعه، این اندیس بین ۷۶ تا ۱۰۰ با میانگین ۹۱ بوده که نشان دهنده هوازدگی شدید در ناحیه منشأ است. با توجه به این که رسیدگی شیمیایی ماسه سنگها تابعی از آب و هواست، برای بررسی شرایط آب و هوایی قدیمه در طی حمل و نقل قبل از رسوب گذاری رسوبات ناحیه منشأ از نمودار SiO_2 در برابر $\text{Al}_2\text{O}_3 + \text{K}_2\text{O} + \text{Na}_2\text{O}$ استفاده شده است (ساتر و داتا، ۱۹۸۶). نمونه‌های مشخص شده در این نمودار، شرایط آب و هوایی قدیمه مرطوب را برای ناحیه منشأ پیشنهاد می‌کنند (شکل ۱۴). لازم به ذکر است که این شرایط آب و هوایی با نقشه‌های ارائه شده از جغرافیایی قدیمه در آن زمان مطابقت داشته است (مک‌کرو و اسکوتس، ۱۹۹۰).



شکل ۱۴: نمودار مشخص کننده شرایط آب و هوایی در ناحیه منشأ ماسه سنگهای منطقه مورد مطالعه (ساتر و داتا، ۱۹۸۶).

منابع

شیخ الاسلامی، م. و زمانی، م.، ۱۳۷۸. گزارش چهارگوش زمین شناسی حلوان با مقیاس ۱:۱۰۰۰۰۰. سازمان زمین شناسی و اکتشافات معدنی کشور.

- Abdel Wahab, H.Sh., Yemane, K., & Giegengack, R., 1997. Mineralogy and geochemistry of the Pleistocene lacustrine beds in Wadi Feiran, south Sinai, Egypt: Implication for environmental and climate changes. *Egypt. J. Geol.*, 41: 145–171.
- Akarish, A.I.M., & El-Gohary, A.M., 2008. Petrography and geochemistry of lower Paleozoic sandstones, East Sinai, Egypt: Implication for provenance and tectonic setting. *Journal of African Earth Science*, 52: 43-54.
- Aghanabati, A., 1977. Etude géologique de la région de Kalmard (W.Tabas). *Geological survey of Iran*, Report No.35.
- Bhatia, M.R., & Crook, K.A.W., 1986. Trace element characteristics of greywackes and tectonic discrimination of sedimentary basins. *Contribution to Mineralogy and Petrology*, 92: 181–193.
- Bhatia, M.R., 1983. Plate tectonics and geochemical composition of sandstones. *Journal of Geology*, 91: 611–627.
- Burley, S.D., & Worden, R.H., 2003. Sandstone diagenesis: Recent and Ancient. *Blackwell publishing*, 664p.
- Chamley, H., 1990. Sedimentology. *Springer-Verlag*, Berlin, 285 p.
- Cullers, R.L., 2000. The geochemistry of shales, siltstones and sandstones of Pennsylvanian-Permian age, Colorado, USA: implications for provenance and metamorphic studies. *Lithos*, 51: 181-203.
- Das, B.K., Al-Mikhaili, A.S., & Kaur, P., 2006. Geochemistry of Mansar Lake sediments, Jammu, India: Implication for source-area weathering provenance and tectonic setting. *Journal of Asian Earth Science*, 26: 649-668.
- Dabard, M. P., 1990. Lower Brioverian Formations (Upper Proterozoic) of the Armorican Massif (France): Geodynamic evolution of source areas revealed by sandstone petrography and geochemistry. *Sediment. Geol.*, 69: 45–58.
- Dey, S., Rai, A.K., & Chaki, A., 2009. Palaeoweathering, composition and tectonics of provenance of the Proterozoic intracratonic Kaladgi-Badami basin, Karnataka, southern India: Evidence from sandstone petrography and geochemistry. *Journal of Asian Earth Sciences*, 34 (6): 703-715.
- Folk, R.L., 1980. Petrology of Sedimentary Rocks. *Hemphill Publication Company*, Austin (Texas), 78703: 185p.
- Herron, M.M., 1988. Geochemical classification of terrigenous sands and shales from core or log data. *Journal of Sedimentary Petrology*, 58: 820–829.
- Goldstein, R.H., & Rossi, C., 2002. Recrystallization in quartz overgrowths. *Journal of Sedimentary Research*, 72: 432–440.
- Hirst, D.M., 1962. The geochemistry of modern sediments from the Gulf of Paria. II. The location and distribution of trace elements. *Geochim. Cosmochim. Acta*, 26: 1174–1187.
- Jin, Z., Li, F., Cao, J., Wang, S., & Yu, J., 2006. Geochemistry of Daihai Lake sediments, Inner Mongolia, north China: Implications for provenance, sedimentary sorting and catchment weathering. *Geomorphology*, 80: 147–163.
- Kim, J.C., Lee, Y., & Hisada, K., 2007. Depositional and compositional controls on sandstone diagenesis, the Totori Group (Middle Group (Middle Jurassic-Early Cretaceous), Central Japan. *Sedimentology Geology*, 195: 183-202.
- Lee, Y., 1999. Geochemical characteristics of the Manhang Formation (Late Carboniferous) sandstones, Korea: implication for provenance. *Geosciences Journal*, 3 (2): 87-94.
- Marchand, A.M.E., Haszeldine, R.S., Smalley, P.C., & Macaulay, C.I., 2002. Evidence for reduced quartz-cementation rates in oil-filled sandstones. *Geology*, 29 (10): 915–918.
- McBride, E.F., 1989. Quartz cement in sandstone. *Earth Science Reviews*, 26: 69-112.
- McKerrow, W.S., & Scotese, C.R., 1990. Palaeozoic Palaeogeography and Biogeography. *Geological Society Memoir*, 12: 1-21.

- McLennan, S.M., Taylor, S.R., & Eriksson, K.A., 1983. Geochemistry of Archean shales from the Pilbara Supergroup, Western Australia. *Geochim. Cosmochim. Acta*, 47: 1211–1222.
- Mork, M.B.E., & Moen, K., 2007. Compaction microstructures in quartz grains and quartz cement in deeply buried reservoir sandstones using combined petrography and EBSD analysis. *Journal of Structural Geology*, 29: 1843–1854.
- Nathan, S., 1976. Geochemistry of the Greenland Group (Early Ordovician), New Zealand. *New Zealand Journal of Geology and Geophysics*, 19: 683–706.
- Pettijohn, F.J., Potter, P.E., & Siever, R., 1987. Sand and Sandstones (2nd edition), Springer-Verlag, Berlin, 618p.
- Reed, J.S., Eriksson, K.A., & Kowalewski, M., 2005. Climate, depositional and burial controls on diagenesis of Appalachian Carboniferous sandstones: qualitative and quantitative methods. *Sedimentary Geology*, 176: 225–246.
- Rezaee, M.R., & Lemon, N.M., 1996. Influence of depositional environment on diagenesis and reservoir quality: Tirrawarra sandstone reservoir, Southern Cooper Basin, Australia. *Journal of Petroleum Geology*, 19 (4): 369–391.
- Roser, B.P., Korsch, R.J., 1988. Provenance signatures of sandstone-mudstone suites determined using discriminant function analysis of major-element data. *Chemical Geology*, 67: 119–139.
- Suttner, L.J., & Dutta P.K., 1986. Alluvial sandstone composition and paleoclimate, Part I: framework mineralogy. *Journal of Sedimentary Petrology*, 56: 329–345.